

ФАЗОВОЕ РАССЛОЕНИЕ ЭЛЕКТРОННОЙ ЖИДКОСТИ В НОВЫХ СВЕРХПРОВОДНИКАХ

Л.П.Горьков, А.В.Сокол

На основе анализа экспериментальной ситуации в купрате лантана предполагается существование двух фаз – проводящей и диэлектрической, что объясняет некоторые особенности нормального состояния.

За время, прошедшее после открытия так называемой высокотемпературной сверхпроводимости¹, накопилось много важных экспериментальных данных. Однако вопрос о возможности объяснить высокие значения T_c в рамках обычной схемы пока остается открытым. Поэтому ниже мы исследуем другую сторону проблемы. Именно, если новая сверхпроводимость вызвана некоторыми неординарными свойствами этих материалов, естественно ожидать их проявления уже в нормальном состоянии. Другими словами, здесь мы сконцентрируемся только на свойствах нормальной фазы, и, более конкретно, для лантановых соединений. Действительно, "чистый" La_2CuO_4 выделен тем, что в тетрагональной фазе имеет ~~решетку~~ решетку. Примитивная ячейка поэтому содержит в точности одну структурную единицу La_2CuO_4 , что отвечало бы наполовину заполненной зоне Бриллюэна. (Ниже предполагается, что структурный переход с $T_{OT} \approx 500$ К не имеет электронной природы (в отличие, напри-

мер, от ~ 2) и потому является малым эффектом на фоне широкой зоны $\sim 1 - 2$ эВ). Сопротивление "чистого" La_2CuO_4 однако, очень велико ($\sim 0,1 \text{ Ом} \cdot \text{см}$), слабо зависит от температуры, скажем, выше 150 К, и обнаруживает локализационное поведение при более низких температурах. С другой стороны, додирование несколькими процентами Sr повышает проводимость на два порядка, приводя к резко выраженному металлическому поведению. Моттовское диэлектрическое состояние, возникающее из-за сильных кулоновских корреляций, было бы единственной сейчас альтернативой фермижидкостному состоянию (см., например, ³). Тогда сопротивление "чистого" La_2CuO_4 , казалось бы, должно следовать активационному закону с большой энергетической щелью. Поскольку экспериментально это не так, конечную проводимость связывают с неконтролируемым додированием за счет вакансий кислорода или нестехиометрии. Но и при низком уровне додирования проводимость должна меняться с температурой в соответствии с температурной зависимостью подвижности.

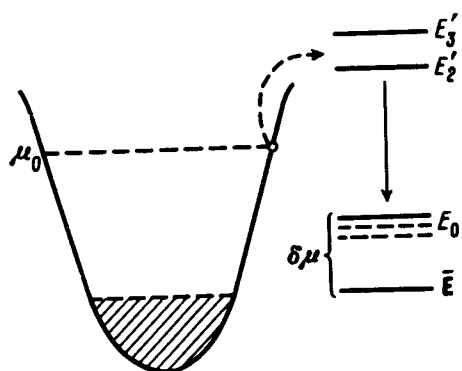


Рис. 1

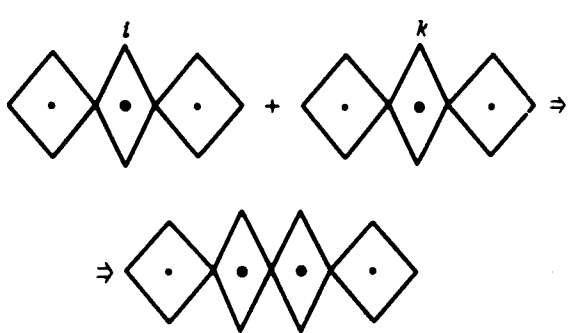


Рис. 2

Ниже мы примем эти противоречия со всей серьезностью, как важный факт, и попытаемся предложить еще одну альтернативу – существование в La_2CuO_4 двух фаз: проводящей и диэлектрической.

Для решетки La_2CuO_4 характерно наличие октаэдрической координации CuO_6 . При кубической симметрии ион Cu^{2+} (электронная конфигурация d^9) отвечает вырожденному ян-теллеровскому терму E_g . Присутствие атомов La понижает симметрию до тетрагональной и, в принципе, снимает вырождение E -терма. Однако допустим, что ян-теллеровский гамильтониан еще имеет вид:

$$\begin{pmatrix} \lambda Q_3 + E'_3 & \lambda Q_2 \\ \lambda Q_2 & -\lambda Q_3 + E'_2 \end{pmatrix}, \quad (1)$$

где матрица действует на коэффициенты (η_3, η_2) в электронной волновой функции $\psi = \eta_3 \psi_{z^2} - r^2 + \eta_2 \psi_{x^2 - y^2}$ (обозначения совпадают с ⁴). Мы тем самым предполагаем, что тетрагональное расщепление меньше, чем ян-теллеровская энергия E_{JT} , благодаря чему сильная поляронная связь по-прежнему характерна для иона меди в конфигурации d^9 .

Предположим сначала, что двухвалентные состояния меди в системе вообще отсутствуют. (Для конкретности, будем считать ионы меди одновалентными (d^{10})). Введем зону проводимости, построенную самосогласованно для указанной конфигурации, скажем, на p -орбитах кислорода. Такая зона будет заполнена наполовину. Взяв теперь один электрон (точнее, дырку) и поместив его на медь, мы образуем локальный полярный уровень (d^9) с энергией E_0 (рис. 1). Если E_0 выше уровня Ферми в зоне проводимости, μ_0 , полярное состояние невыгодно. При E_0 ниже дна зоны проводимости все носители перейдут на локализованные состояния (аналог моттовского диэлектрического состояния ⁴).

Существует третья возможность, при которой полярный уровень занимает промежуточное положение. В этом случае химический потенциал пиннингуется при E_0 (см. 5,6), и полярные уровни заняты лишь частично. С учетом температуры при гибридизации каждая ячейка приобретает дополнительное среднее тетрагональное искажение $\langle Q_3 \rangle \neq 0$. Гибридизация локального уровня с зоной проводимости дополнительно мала в меру перекрытия решеточных координат $\exp(-E_{JT}/\omega)$, что также соответствует медленности (на шкале фононных частот) перестройки решетки. В пренебрежении гибридизацией заселенность локальных уровней определяется условиями термодинамического равновесия.

Структура La_2CuO_4 такова, что притяжение между обычными локализованными уровнями практически неизбежно. Как показано на рис. 2, каждый из двух электронов в ячейках (*i*) и (*k*), соответственно, вызывает упругую сдвиговую деформацию вблизи своих ячеек. Отвлекаясь пока от кулоновских взаимодействий, видим, что можно выиграть в упругой энергии, если оба электрона находятся в соседних ячейках. Такое образование отвечало бы биполярому. Тогда возможно появление больших кластеров. Положение химического потенциала соответственно падает на величину $\delta\mu$, которая равна энергии, необходимой для того, чтобы один локализованный уровень отцепился от кластера. Концентрации электронов в зоне и в кластерах пропорциональны соответственно

$$n_c = \int_0^{E_0 - \delta\mu} v(E)dE, \quad n_i = \int_{E_0 - \delta\mu}^{\mu_0} v(E)dE.$$

Рассмотрим структуру кластера в La_2CuO_4 более подробно. Атомы кислорода в *ab*-плоскости обобществлены между двумя соседними ячейками. Для простоты связь между кислородами (O-La-La-O) вдоль оси *c* также примем жесткой. Ян-тэллеровская деформация в нескольких соседних ячейках, очевидно, эквивалентна локальной сдвиговой деформации:

$$Q_3 \Rightarrow 6^{-1/2} (2u_{zz} - u_{xx} - u_{yy}), \quad Q_2 \Rightarrow 2^{-1/2} (u_{xx} - u_{yy}),$$

где $u_{ik} = 1/2 (\partial u_i / \partial x_k + \partial u_k / \partial x_i)$ — тензор деформации. Упругая энергия на единицу объема теперь есть

$$\frac{1}{2} (c_{11} - c_{12}) (Q_3^2 + Q_2^2). \quad (2)$$

Эту энергию надлежит рассматривать вместе с ян-тэллеровским гамильтонианом (1). В соответствии с этой интерпретацией, кластеры, о которых шла речь выше, проявляются как локальные сдвиговые деформации решетки La_2CuO_4 .

Обсудим, что означает появление кластера в реальном пространстве. (Если кластер достаточно большой, то он может рассматриваться как зародыш новой фазы). Так как на каждом локализованном уровне должно находиться по одному электрону (точнее, дырке для конфигурации d^9 по отношению к d^{10}), то из-за условия электронейтральности в данном месте пространства носителей в зоне проводимости нет. Иначе говоря, кластер отвечает "капле" диэлектрической фазы. В статической картине сосуществования диэлектрической и проводящей фаз проводимость обращается в нуль, если отношение n_c/n_i меньше переколяционного предела, что в трехмерном случае отвечает $n_c/n_i \sim 0,15$, а в двумерном $\sim 0,5$. Мы хотели бы связать резкие различия в проводимости "чистого" и додированного La_2CuO_4 именно с близостью к переколяционному пределу. Сосуществование двух типов носителей в La_2CuO_4 необходимо, чтобы объяснить, например, наличие нормального паулиевского вклада в восприимчивость при одновременном локализационном ходе сопротивления при низких температурах.

Термодинамическое рассмотрение способно дать только относительные концентрации диэлектрической и проводящей фаз и не может указать степень дробления "капель". Этот вопрос должен решаться с учетом кулоновских эффектов. Так как все энергии имеют атом-

ный порядок величины, размеры "капель", или кластеров, образующих "туман" в решетке La_2CuO_4 , будут, вероятно, малы. Поэтому переколяционный подход имеет ограниченный характер, и даже ниже порога переколяции проводимость может быть малой, но отличной от нуля величиной. Эти вопросы сейчас исследуются. Подчеркнем еще раз, что кластеры не являются статическими, т. е. состояние в целом является динамическим, хотя характерный масштаб частот связан с динамикой решетки.

Процесс допирования меняет общее число носителей в зоне на рис. 1, понижает (за счет кулоновского заряда) локальную симметрию, создает неоднородности, которые могут пиннинговать кластеры, или "капли".

За недостатком места мы можем только упомянуть, что структурный переход нетрудно связать с ангармонизмом третьего порядка в произведении представлений $E_g \times F_{2g} \times F_{2g}$, где трехмерное представление F_{2g} содержит деформацию, отвечающую поворотам октаэдров.

Авторы выражают благодарность Г.М.Элиашбергу за многочисленные обсуждения.

Литература

1. *Bednorz J.G., Muller K.A.* Z. Phys., 1986, B64, 189.
2. *Дзялошинский И.Е.* Письма в ЖЭТФ, 1987, 46, Приложение , с. 110.
3. *Anderson P.W.* Science, 1987, 235, 1196.
4. *Kamitura H.* Jpn. J. Appl. Phys., 1987, 26, L267; Proc. Adriatico Research Conf. on High Temp. Supercond. 1987 (в печати).
5. *Каган Ю., Кикоин К.А..* Письма в ЖЭТФ, 1980, 31, 367.
6. *Элиашберг Г.М.* Письма в ЖЭТФ, 1987, 46, Приложение , с. 94.